

Wide Space 爆破の機構に関する検討

山口大学工学部 正員 中川浩二
 日本化薬厚狭工場 坂本 佐
 ○徳山高専 正員 橋本堅一
 奥村組 正員 鎌田一郎

1. はじめに

Wide Space爆破法はベンチカットにおける孔間隔と抵抗線との比が従来1.0~2.0程度である。たものを孔間隔を大きくとり、それによって生じる爆破効果の低下を抵抗線の減少によって補い、破碎性の向上を計る方法である。破碎性の向上に関してこの方法の有効性は多くの報告により認められているが、なぜ“Wide Space”とするこことにより破碎性が向上するかについての特に力学的な立場での説明が不十分と思われる。

そこで本研究では多列のWide Space爆破を行なうときの孔間隔と抵抗線の変化による爆破機構の変化特性を明らかにすることを目的とし、セメントモルタルを用いた基本的な模型実験を行った。そしてそれらの実験に対応する有限要素モデルによるシミュレーション解析を行い、Wide Space爆破の機構について力学的な解明を試みた。

2. 実験とその結果

実験には厚さ10.5cmのセメントモルタル供試体を用いた。縦横の寸法は爆破孔の配列によって異なり表-1および図-1に示すとおりである。用いた爆薬はPETNを心薬とした導爆線で一孔あたりの薬量は1.26gである。実験においてはWide Space爆破の最大の問題点と思われる孔間隔と抵抗線の変化による破碎性の変化について検討することにした。そこで供試体の爆破孔位置を先の図-1に示すように一本の爆破孔あたりの破碎量を等しくするためにS/Wを80cm²と固定し、S/Wは1.0, 2.0, 4.0, 6.0, 8.0とした。孔配列は千鳥配列とし各列を同時に起爆した。起爆には6号電気雷管を用い、雷管から爆破孔までの導爆線の長さを等しくとした。爆破時には供試体の周囲を板柱で囲むことにより破碎片の飛散を防ぎ各爆破毎の破碎片を集めて後の検討に供した。

ふるい分けにより得られた粗粒率をS/Wについて図示したものが図-2である。図によると粗粒率はS/Wの増加とともに低下し(破碎性は向上)またS/W=4以上ではおよそ同程度の値となるようである。各列の爆破による粗粒率の変化を図-3に示す。この図によるとS/W=1および2では列番号の増加とともに粗粒率が低下するのがわかる。またS/W=4では第1列とくらべて第2列で低下し第3、第4列では第1列と第2列の中間程度となる。これに対しS/W=6および8では第1列で低い粗粒率を示すが第2列で若干高くなり第3、第4列では第1列程度の値にもどる。

爆破による破断面はS/Wが1および2の場合には各爆破孔を直線で連ねた形となりSBが成功したと同様の状態となる。これに対しS/W=4の場合にはこの連結が若干あいまいとなりクラックによる爆破孔の連結は可能であるが必ずしも直線状とはいえない。そして第2列以降では時にかなり大きな凹凸を示すことがある。S/W=6および8では第1列の爆破によってできる破断面はクレーター部分と爆破の影響が及ばずそのまま残された自由面を連

S/W	1	2	4	6	8
S	8.9	12.7	17.9	21.9	25.3
W	8.9	6.3	4.5	3.7	3.2
A	6.0	4.5	3.8	3.5	3.3
B	8.5	10.5	13.0	15.0	16.7

表-1 モルタル供試体の諸元(単位:cm)

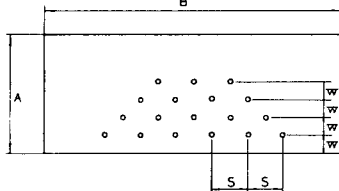


図-1 モルタル供試体の諸元

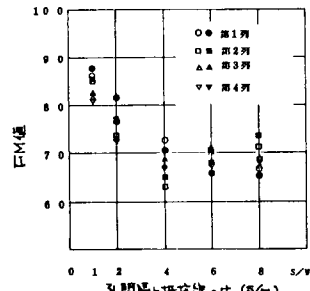


図-2 S/Wの増加によるFM値の変化

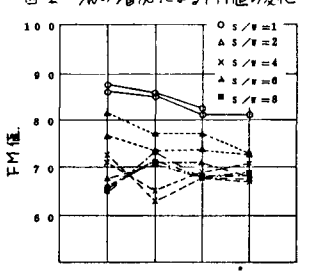


図-3 各S/W値における爆破列ごとのFM値変化

ねた形となるようであつた。

3. 数値解析と検討

セメントモルタル供試体による Wide Space 爆破の実験結果をクラックの発生という立場から理解するためには動的有限要素法を用いた数値シミュレーションが有効であると思われる。そこで先に発表した数値シミュレーションの方法を応用してこの機構を検討した。各列に十分な数の載荷孔があるとすると解析を必要とする領域は図-4～7に示す範囲のみとなる。図で黒く塗りつぶした部分が載荷孔に対応しきれのモデルにおいて一孔あたりの破碎面積はほぼ等しい。また S/W の値は(A)1.15, (B)1.73, (C)3.08, (D)6.92 となる。ここで(C)が孔間に直線状の破断面ができる限界とし模型実験における $S/W = 1$ および 2 はモデル(A), (B)に, $S/W = 4$ はモデル(C)に, $S/W = 6$ および 8 はモデル(D)に対応づけている。ここでは数値シミュレーションに関する詳細は省略する。

図-4～7にモデルにおけるクラックの発生、飛達の状況を示す。図中太実線は載荷により供試体中に発生したクラックとその発生方向を示している。(A), (B)の S/W が比較的小さい場合には実験結果における破断面の直線性、破碎量が爆破列により特に大きく変動しない状態、あるいは各列の爆破で大塊が放出される状況などよりよく説明されるようである。これらの状況は孔間隔が短かく、かつ同時爆破が行われるため、また抵抗線距離が大きいため生じるものと考えられる。しかし実験においてみられる列番号の増加による破碎性の向上は解析モデルからは認められなかつた。(C)のように S/W が中程度になるとクラック密度はかなり高くなるがクラックパターンを検討すると第3列の載荷による破碎域の方が、第2列の載荷による破碎域よりも若干クラック未飛達部分を多く含む。このことは実験の傾向と一致しているようであり興味がもてるところである。(D)の S/W が比較的大きい場合には第1列の載荷でクレーターが形成され、その破碎域はほぼクラックでうめられ破碎性のよさがあがる。また第2列 図-5 モデル(B) ($S/W=1.73$)におけるクラックの飛達の載荷によりできるクラック未飛達部が第3列の載荷によりできるクラック未飛達部分に比べて広いことを考えれば実験結果をうまく説明しているといえようである。

以上のことにより次のことが明らかになつた。

- 1) 最小抵抗線距離の減少は自由面での反射引張波による破壊を顕著にし破碎性を向上させる。
- 2) 爆破孔間隔が大きくなると同時爆破においてはそれぞれの孔からの衝撃波が隣接孔からのクラックの放射状の飛達を抑制する効果は小さくなり破碎性の向上をもたらす。
- 3) 第3列以降が現実的であること、穿孔精度、飛石などを考慮すると $S/W = 4$ 程度が実際的であると思われる。

4 謝辞

実験に便宜をお計りいたいた日本化薬層工場石井工場長ならびに実験に協力いただいた日本化薬および山口大学の諸氏に謝意を表する。

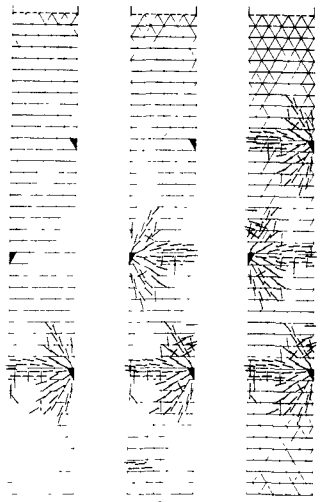


図-4 モデル(A) ($S/W=1.15$)におけるクラックの飛達

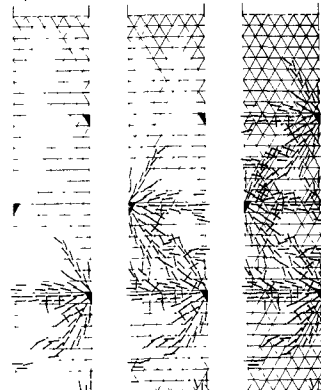


図-5 モデル(B) ($S/W=1.73$)におけるクラックの飛達

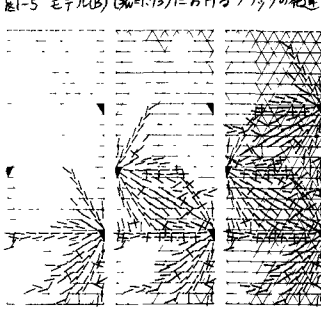


図-6 モデル(C) ($S/W=3.08$)におけるクラックの飛達

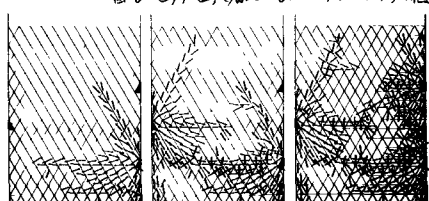


図-7 モデル(D) ($S/W=6.92$)におけるクラックの飛達